

مقایسه رفتار لرزاکی قاب‌های خمشی فولادی مجهز به میراگرهای ویسکوز خطی و غیرخطی تحت زلزله‌های نزدیک به گسل

منصور باقری^{*}، سید عباس حسینی^۲، امین وداد^۳

۱- استادیار، گروه مهندسی عمران، دانشگاه صنعتی بیرجند، بیرجند، ایران

۲- استادیار، دانشکده صنعت و معدن چرام، دانشگاه یاسوج، چرام، ایران

۳- کارشناس ارشد سازه، گروه مهندسی عمران، موسسه آموزش عالی بعثت، کرمان

*mnsrbagheri@birjandut.ac.ir

چکیده

در دهه‌های اخیر مطالعات گسترده‌ای درباره میراگرهای ویسکوز به عنوان یکی از انواع سیستم‌های کنترل غیرفعال سازه جهت استهلاک و جذب انرژی زلزله انجام شده است. در این تحقیق به بررسی اثر میراگرهای ویسکوز خطی و غیرخطی بر پاسخ لرزاکی قاب‌های خمشی فولادی 3×3 و 20×20 طبقه پرداخته شده و پس از انجام تحلیل دینامیکی تاریخچه زمانی غیرخطی، پاسخ‌های سازه‌ای یکدیگر مقایسه شده است. بررسی نتایج نشان داد که جابجایی مطلق قاب‌ها در حالت وجود میراگر غیرخطی نسبت به حالت خطی با افزایش تعداد طبقات به ترتیب 67×67 ، 79×79 و 84×84 درصد کاهش یافته ولی برای حداکثر تغییر مکان نسبی برای سازه 20×20 طبقه اثر کمتری داشته و بترتیب 83×83 و 40×40 درصد بوده است. همچنین میزان جذب انرژی میراگر غیرخطی در قاب‌های کوتاه و میان مرتبه با توجه به منحنی هیسترزیس استخراج شده با $7/5 \times 7/5$ و 157×157 درصد افزایش، دارای عملکرد بهتری بوده در حالی که در قاب بلند مرتبه به مقدار 74×74 درصد کاهش یافته است. همچنین توزیع مفاصل پلاستیک نیز برای این نوع میراگرهای میان کاهش خرابی در سطح عملکرد اینمی جانی می‌باشد و موجب کاهش قابل ملاحظه‌ای در تعداد مفاصل پلاستیک تشکیل شده در سطح عملکرد قابلیت استفاده بی‌وقفه شده است. همچنین برش پایه قاب‌های 3×3 و 9×9 طبقه با میراگر غیرخطی نسبت به میراگر خطی حدود 21×21 و 10×10 درصد کاهش داشته و در عین حال اثر میراگرهای غیرخطی در قاب‌های بلند مرتبه چندان محسوس نبوده است.

واژگان کلیدی: قاب خمشی فولادی، میراگر ویسکوز غیرخطی، تحلیل تاریخچه زمانی غیرخطی، مفصل پلاستیک، برش پایه.

۱- مقدمه

میراگرهای مایع ویسکوز خطی و غیرخطی در سازه‌های فولادی را در نرم افزار SAP2000 بررسی کرده‌اند. ایشان نتیجه گرفتند که مشارکت میراگر غیرخطی موجب بهبود ظرفیت جذب انرژی سازه بدون افزایش سختی و کاهش مقدار پایداری کلی سازه می‌شود. رومرو و روذریگو- مارتینز [3] پاسخ دینامیکی یک ساختمان چند طبقه فولادی با سازه خمشی مقاوم مجهز به میراگرهای ویسکوز مایع که در معرض بارهای دینامیکی سازه را در دو حالت مقاوم سازی شده با میراگرهای خطی و غیرخطی و شاخص‌های عملکرد سازه را در هر دو روش مقاوم سازی مورد بررسی قرار دادند و نتیجه گرفتند که

به منظور اتلاف انرژی ناشی از زلزله در سازه‌ها و کنترل پاسخ آن‌ها، میراگرها با سیستم کنترل غیرفعال در بخش‌های خاصی از سازه نصب و بخش نسبتاً زیادی از انرژی ورودی به سازه را تحت مکانیزم‌های مختلف جذب می‌نمایند و در نتیجه سازه دچار خرابی جدی نمی‌گردد. پس از وقوع زمین لرزاکه نورثربیج و کوبه، پژوهش‌های آزمایشگاهی گسترده‌ای به منظور مقاوم‌سازی و افزایش شکل پذیری اتصالات انجام شد و تعداد زیادی از اتصالات اصلاح شده پیشنهاد گردید. جری [1] در پژوهش خود به سؤالاتی پیرامون خصوصیات میراگرهای غیرخطی و مکانیسم عملکرد آنها در استهلاک انرژی در سازه پرداخته است. راس و بومچرا [2] نیز در مطالعه خود، رفتار

مطالعه خود به بررسی استفاده از میراگر ویسکوز در ترکیب با آلیاژ حافظه دار شکلی با استفاده از تحلیل IDA پرداختند که تغییر مکان بدون پسماند در این سازه ها از عدمه مزایای استفاده از وسایل اتلاف انرژی زلزله بیان شد. در پژوهشی، پینه دا و همکاران [13] نیز به بررسی بهبود پاسخ لرزه ای سازه های بتی نیز با استفاده از میراگر های مایع ویسکوز پرداختند. نتایج نشان از کاهش قابل ملاحظه تغییر مکان با افزایش مقدار توان سرعت داشت.

با توجه به ضرورت بررسی روش های مقابله با نیروی زلزله و استهلاک انرژی حاصل از آن، استفاده از میراگر های مختلف از جمله میراگر ویسکوز در طراحی سازه ها گسترش یافته است. مطالعه رفتار غیرخطی سازه های بهسازی شده با میراگر های ویسکوز خطی و غیرخطی با استفاده از تحلیل طراحی عملکردی مبتنی بر روش تغییر مکان مستقیم و مقایسه پاسخ های سازه ای در مدل های با تعداد طبقات مختلف، از جمله ویژگی های پژوهش حاضر می باشد. در این مطالعه، ضمن مقایسه عملکرد قاب دارای میراگر با حالت بدون میراگر، انواع خطی و غیرخطی آن مدل شده و پاسخ های لرزه ای از جمله حداقل تغییر مکان های مطلق بام و نسبی طبقات، برش پایه، منحنی هیسترزیس و مفاصل پلاستیک مورد ارزیابی قرار گرفته اند.

۲- روش تحقیق

روش طراحی بر اساس تغییر مکان که در آن تغییر مکان ها به عنوان معیاری جهت ارزیابی سازه لحاظ می شود به دلیل وابستگی خرابی به تغییر مکان بیش از نیرو، پذیرفته شده است که می تواند بر نواقص ذاتی روش های طراحی بر اساس نیرو غلبه نماید. از سوی دیگر، در ارتباط با عملکرد سازه ها سطوح و حالات مختلفی قابل تعریف است. در حالت عملکردی قابلیت استفاده بی وقفه^۱ در آن خرابی ایجاد شده در سازه محدود است. در این حالت تغییر مکان جانبی نسبی در اثر ترک خوردنگی یا رفتار خمیری در سازه باقی نمی ماند، سختی و مقاومت اعضای سازه ای اساساً تغییری نمی کند و ترک های بسیار جزئی در اعضای سازه ای و نما ایجاد می شود. در حالت

نیروی بیشینه در میراگر های ویسکوز غیرخطی ۳۵ درصد کمتر از حالت ویسکوز خطی است. آلتیری و همکاران [4] در پژوهش خود به طراحی بهینه میراگر های غیرخطی برای مقابله با زلزله در سیستم های سازه ای پرداختند. آیتم های بهینه سازی مورد استفاده در این مطالعه احتمال شکست سازه ای، هزینه میراگر و نیروهای میراگر بودند. سیلووا و همکاران [5] برای بهبود رفتار سازه های فولادی تحت بارهای لرزه ای چند سطحی، یک سیستم فوق ارجاعی ویسکوز را پیشنهاد داده و کارایی آن را در کاهش پاسخ لرزه ای با مطالعه آزمایشگاهی و تحلیلی روی یک سازه خمشی ویژه ۶ طبقه فولادی نشان دادند و کمترین تغییر مکان های ماندگار حاصل شد. لین و همکاران [6] روشی برای تحلیل پاسخ مodal ساختمان های نامتقارن در پلان با میراگر های ویسکوز غیرخطی ارائه دادند و نتیجه گرفتند که روند تحلیل ساده شده پیشنهادی منجر به برآورده رضایت بخشی از پاسخ لرزه ای چنین سازه هایی با میراگر های ویسکوز غیرخطی می شود. سیلووا و همکاران [7] ضمن مطالعه مقاومت گسیختگی لرزه ای سازه خمشی فولادی با میراگر ویسکوز، توانایی بالای سیستم در برابر خرابی را با کمترین تغییر مکان های ماندگار را نتیجه گرفتند. بوردرسون و همکاران [8] با شبیه سازی یک میراگر ویسکوز هیبرید متشکل از ترکیب سری یک کمک فنر ویسکوز و یک محرک فعال، نشان دادند که سیستم کنترل برای مدهای فرکانسی بالا فعال شده و موجب جابه جایی لازم در محرک می شود. شریعتی و همکاران [9] به بررسی روشی برای بهینه سازی میراگر ویسکوز غیرخطی جهت بهبود پاسخ ساختمان های بلند با انواع مهاربند های همگرا پرداختند. نتایج نشان داد که مهاربند شورون عملکرد بهتری داشته و موجب کاهش تغییر مکان و جذب انرژی بیشتری شده است. سانتوز سانتیاگو و همکاران [10] در مطالعه ای به اثر مدهای بالاتر روی پاسخ لرزه ای ساختمان های دارای میراگر خطی و غیرخطی پرداختند و نتیجه گرفتند که ضرایب تصحیح سرعت و شتاب بترتیب ۵۲ و ۱۶ درصد در سیستم میراگری مؤثر بودند. همچنین کوکلانی و شین [11] در پژوهشی به اثر پارامترهای مؤثر بر عملکرد لرزه ای میراگر ویسکوز از جمله سختی، ضربه میرایی و توان سرعت در سازه ۷ طبقه پرداختند و نتیجه گرفتند که توان سرعت بین ۰/۶ تا ۰/۹ نتایج بهتری در پی دارد. صالحی و قبادی [12] در

^۱ Immediate Occupancy (IO)

نیروی میرایی این سازه‌ها با توجه به روش شرح داده شده [16] (بند 9.3) تعیین و در حالت کنترل شده توسط سرعت، مطابق رابطه 9.25 مرجع مذبور بدست می‌آید.

شکل ۲- اجزای میراگر ویسکوز [17]

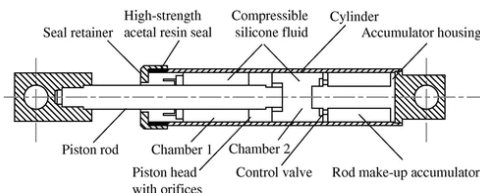


Fig 2. Viscous damper components [17]

میراگرهای ویسکوز برخلاف انواع میراگرهای تسلیمی و اصطکاکی، محدود به جابجایی نبوده و نیروی داخلی آنها وابسته به سرعت بوده و رفتار آن به دو صورت خطی و غیرخطی می‌باشد. در حالت خطی، نیروی محوری از حاصل- ضرب میرایی در سرعت نسبی دو سر میراگر (سرعت دور یا نزدیک شدن دو گره انتهایی مطابق رابطه (۱) بدست می‌آید.

$$F_{damper} = CV^\alpha \quad (1)$$

که در آن، F_{damper} نیروی محوری در حالت خطی، C ضریب میرایی میراگر، V سرعت نسبی دو سر میراگر و α در حالت غیرخطی توان سرعت نسبی میراگر بین $0/2$ تا 1 بوده که در این مطالعه، از ضریب $0/25$ استفاده شده است. برای محاسبه ضریب میرایی میراگرهای ویسکوز در سه مود اول سازه از رابطه (۲) استفاده می‌شود [16].

$$\beta_{eff} = \beta + \frac{T_s \sum_j C_j \cos^2 \theta_j \varphi_{rj}^2}{4\pi \sum_i m_i \varphi_i^2} \quad (2)$$

که در آن، β_{eff} نسبت میرایی ایجاد شده توسط میراگر، β میرایی ذاتی، T_s دوره تناوب مود اصلی سازه، C_j ضریب میرایی طبقه j -ام، φ_{rj} جابجایی افقی نسبی دو انتهای میراگر در اثر تغییر شکل سازه در مود اول، θ_j زاویه میراگر با راستای افق در طبقه j -ام، m_i جرم لرزه‌ای طبقه i -ام و φ_i تغییر مکان طبقه i -ام در اثر تغییر شکل سازه در مود اول تغییر شکل می- باشد.

در این مطالعه، روند کلی بررسی تأثیر میراگرهای ویسکوز در

دوم یعنی ایمنی جانی^۲ ساختمان دچار خرابی‌های قابل توجهی می‌شود. مقداری از سختی و مقاومت در تمام طبقات از دست خواهد رفت، تغییرشکل نسبی ناشی از رفتار خمیری در سازه مشاهده خواهد شد و نیز خطر تلفات جانی اندکی بیشتر خواهد بود. در سطح عملکرد آستانه فروریزش^۳ ساختمان دچار خرابی‌های گسترده‌ای می‌گردد. در این حالت در اعضای سازه‌ای سختی و مقاومت ناچیزی برای تحمل بارهای جانی باقی ماند اما ستون‌ها و دیوارهای باربر ثقلی عملکرد خود را حفظ می‌کنند، تغییر شکل‌های نسبی ماندگار زیاد است و احتمال این که سازه در اثر پس‌لرزه‌ها فرو بریزد وجود دارد. نواحی مختلف سطوح عملکردی در شکل ۱ نمایش داده شده است.

شکل ۱- منحنی نیرو- تغییرشکل اعضا [14]

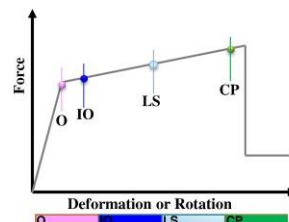


Fig 1. Force-deformation curve of elements [14]

از طرف دیگر، میرایی سازه‌ها تحت تحریک زلزله بهصورت ترکیبی از میرایی ذاتی و اضافی است. میرایی ذاتی به مرحله پیش از تسلیم سازه و تشکیل اولین مفصل دراعضای سازه‌ای بستگی دارد که بر اساس مقادیر پیشنهادی متابع معترض دینامیک سازه در تنش‌های نزدیک به تنش تسلیم اعضا قابل تعریف است و در این مطالعه برابر ۵٪ لحاظ می‌گردد [15] و میرایی اضافی با استفاده از انواع میراگرها مانند میراگر ویسکوز، اصطکاکی، تسلیمی و نظایر اینها ایجاد می‌شود. میراگرهای ویسکوز از یک پیستون روزن‌دار درون سیلندری که حاوی سیالی با غلظت زیاد می‌باشد، تشکیل شده‌اند. استهلاک این میراگر از طریق هل دادن و عبور سیال چسبنده از سوراخ‌های پیستون انجام می‌شود. شماتیک کلی این نوع میراگر در شکل ۲ نشان داده شده است. این میراگرها دارای دو نوع خطی و غیرخطی بوده که نوع کاربردی و معمول آن، میراگرهای خطی با ضریب توانی سرعت یک می‌باشند. در عمل، مقادیر مناسب

^۲ Life Safety (LS)

^۳ Collapse Prevention (CP)

[20] استفاده شده است. میزان مشارکت بار زنده به عنوان جرم لرزه‌ای در تحلیل سازه، ۲۰ درصد می‌باشد.

شکل ۴- مدل ۳ طبقه قاب خمسمی بدون میراگر

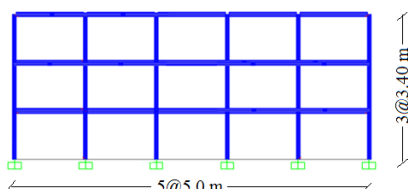


Fig 4. 3-stories bending frame model without damper

مطابق با جداول ۱ و ۲ کلیه ستون‌های مورد استفاده در مدل‌ها از نوع باکس و تیرها از نوع IPE می‌باشند. مشخصات فولاد به کار رفته نیز مطابق جدول ۳ می‌باشد.

جدول ۱- مقاطع ستون باکس مدل‌های ۹، ۳ و ۲۰ طبقه

20-stories	9-stories	3-stories	Story
500x500x25	450x450x20	260x260x25	1-3
450x450x20	350x350x20	-	4-5
350x350x20	350x350x20	-	6-9
350x350x20	-	-	10-15
260x260x20	-	-	16-20

Table 1. Box column sections of 3, 9 and 20-stories models

جدول ۲- مقاطع تیر مدل‌های ۹، ۳ و ۲۰ طبقه

20-stories	9-stories	3-stories	Story
IPE450	IPE400	IPE330	1-3
IPE450	IPE360	-	4-5
IPE400	IPE360	-	6-9
IPE400	-	-	10-15
IPE400	-	-	16-20

Table 2. Beam sections of 3, 9 and 20-stories models

جدول ۳- مشخصات فولاد مورد استفاده

2400 kg/cm ²	Yield stress
4000 kg/cm ²	Ultimate stress
2×10 ⁶ kg/cm ²	Modulus of elasticity
0.3	Poisson ratio
7850 kg/m ³	Mass per volume

Table 3. Specifications of the applied steel

برای انجام تحلیل تاریخچه زمانی غیرخطی، شتابنگاشت‌های حوزه نزدیک گسل انتخاب و مطابق با بند ۳-۵-۲ استاندارد ۲۸۰۰، مقیاس شده و طیف پاسخ ترکیب هفت زوج شتابنگاشت به همراه طیف میانگین آن‌ها ترسیم شده است. در

عملکرد لرزه‌ای ساختمان‌های فلزی بدین صورت در نظر گرفته شده است که ابتدا مدل سه‌بعدی سازه ضمن اعمال اثرات ۱۰۰ درصد نیروی زلزله در یک جهت و ۳۰ درصد در جهت متعامد آن و نیز اعمال پیچش تصادفی، بصورت استاتیکی معادل تحلیل و طراحی اولیه شده و سپس یک قاب متعارف از سازه‌های ۹، ۳ و ۲۰ طبقه با سیستم قاب خمسمی انتخاب و در نرم افزار SAP2000 بدون میراگر طراحی شده است. سپس قاب طراحی شده در نرم افزار و در سه حالت بدون میراگر و با میراگر خطی (با ضریب توانی ۱) و غیرخطی (با ضریب توانی ۰/۲۵) تحلیل دینامیکی تاریخچه زمانی غیرخطی شده و نتایج عملکرد لرزه‌ای شامل حداکثر تغییرمکان مطلق طبقات، حداکثر تغییر مکان نسبی طبقات، توزیع مفاصل پلاستیک و برش پایه استخراج شده است. در نهایت به مقایسه نتایج و تأثیر اضافه نمودن میراگرهای ویسکوز و مقایسه رفتار قاب‌ها پرداخته شده و نتایج جمع بندی شده است. لازم به ذکر است که انتخاب قاب‌های فوق از نظر تعداد طبقات بر اساس تقسیم بندی دستورالعمل HAZUS [18] بوده که در آن سازه‌ها براساس تعداد طبقات به سازه‌های کوتاه مرتبه، میان مرتبه و بلند مرتبه تقسیم بندی می‌شوند. در شکل ۳ قاب مزبور همراه با چیدمان قرارگیری میراگرهای ویسکوز نمایش داده شده است. جانمایی میراگرها در سایر مدل‌ها نیز به همین صورت در نظر گرفته شده است.

شکل ۳- قاب ۳ طبقه خمسمی با میراگر ویسکوز

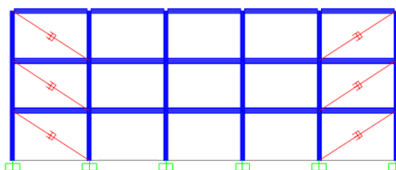


Fig 3. 3-stories bending frame with viscous damper

۳- مدل‌های مورد بررسی

در این مطالعه، سه قاب خمسمی فولادی با ۹، ۳ و ۲۰ طبقه با پنج دهانه‌های ۵ متری و ارتفاع طبقه ۳/۴۰ متر مطابق شکل ۲۸۰۰ با ضریب اهمیت متوسط، الگوسازی و طبق استاندارد ۴ ویرایش چهارم [19] روی خاک نوع ۲ و در منطقه با خطر نسبی زیاد، طراحی لرزه‌ای شده‌اند. بار مرده و زنده طبقات به ترتیب معادل ۵۰۰ و ۲۰۰ کیلوگرم بر مترمربع در نظر گرفته شده و برای طراحی اعضای فولادی از آئین نامه فولاد امریکا

جدول ۴- مشخصات رکوردهای زلزله [۲۱]

Earthquake	Station	PGA (g)	PGV (m/s)	Mag
Coalinga (1983)	Pumping Plant	0.608	0.61	6.5
Chalfant (1986)	LADWP	0.547	0.432	5.8
Kobe (1995)	Nishi Akashi	0.484	0.531	6.9
Landers (1992)	Fire Station	0.529	0.549	7.3
Mammoth Lakes (1980)	CA-High School Gym	0.784	0.444	6.1
Manjil (1990)	Abbar	0.283	0.443	7.4
Tabas (1978)	Tabas	0.504	0.581	7.4

Table 4. Specifications of the earthquake records [21]

جدول ۵- دوره تناوب اصلی قابها

20-stories	9-stories	3-stories	Period
3.356	1.758	0.805	T (sec)

Table 5. Main period of the frames

جدول ۶- محاسبه‌ی ضریب میرایی با توجه به ۲۰٪ میرایی اضافی و ۵٪ میرایی ذاتی در قاب ۳ طبقه

Story 3	Story 2	Story 1	Coefficient
0.00947	0.00678	0.00284	φ_i
0.00269	0.00394	0.00284	φ_{ri}
8.96×10^{-5}	4.59×10^{-5}	8.04×10^{-6}	φ^2
6750	6750	6750	$M_i (\text{kg})$
0.604707	0.310012	0.05429	$M_i \cdot \varphi^2$
7.23×10^{-6}	1.55×10^{-5}	8.04×10^{-6}	φ_{ri}^2
0.633956	0.633956	0.633956	$(\cos \theta_i)^2$
4.58×10^{-6}	9.85×10^{-6}	5.1×10^{-6}	$(\cos \theta_i)^2 \cdot \varphi_{ri}^2$
125987.3			C

Table 6. Calculation of damping coefficient with respect to 20% additional damping and 5% inherent damping in a 3-stories frame

جدول ۷- مقاطع استفاده شده در مطالعه Ras و Boumechra [۲۳]

Beam	Column	Story
IPE340	HE330M	1-2
IPE340	HE300M	3-5
IPE340	HE240M	6-8
IPE340	HE200M	9-13

Table 7. Sections used in the study of Ras and Boumechra [23]

شکل ۵- رکورد زلزله Chalfant مقیاس شده به بیشینه شتاب زمین

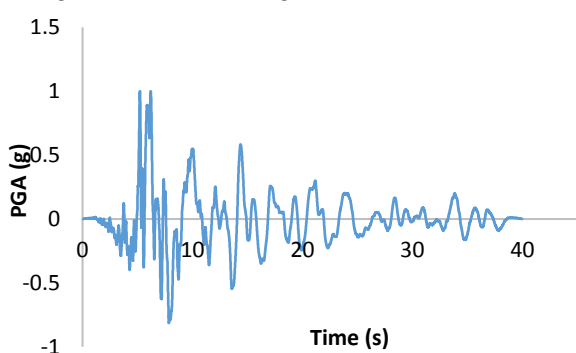


Fig 5. Chalfant earthquake record scaled to the maximum ground acceleration

این مطالعه، از هفت شتاب نگاشت به عنوان رکورد زلزله‌های مورد نیاز در تحلیل تاریخچه زمانی غیرخطی مطابق جدول ۴ استفاده شده است. در انتخاب شتاب‌نگاشت‌ها سعی شده است تا حد امکان ویژگی‌هایی مانند وجود حالت پالس‌گونه به خصوص در نگاشت سرعت لحظه شده باشد. در شکل ۵ شتاب‌نگاشت مربوط به زلزله Chalfant(1986) قابل مشاهده است. این شتاب‌نگاشت‌ها طبق استاندارد ۲۸۰۰ ویرایش چهارم برای طیف استاندارد خاک نوع ۲ و خطر نسبی زیاد هم پایه می‌شوند. در ابتدا همه شتاب‌نگاشت‌ها به شتاب گرانش زمین (g) مقیاس می‌شوند و با استفاده از نرم افزار SeismoSignal با فرض میرایی ۵٪، طیف الاستیک هر هفت شتاب‌نگاشت ترسیم می‌شود. همچنین متوسط شتاب‌نگاشت‌ها بدست آمده و با طیف استاندارد هم‌پایه شده است. نمودار شتاب طیفی شتاب‌نگاشت‌های هم‌پایه شده و متوسط آنها در شکل ۶ نشان داده شده است. در این مقاله، برای انجام تحلیل دینامیکی از روش نیومارک استفاده شده و مقاصل پلاستیک برای ستون‌ها در ۰.۵٪ و ۰.۹۵٪ طول ستون در قالب نیروی محوری و دو لنگر حول محورهای محلی ۲ و ۳، برای تیرها در ۰.۵٪ و ۰.۹۵٪ طول تیر به صورت لنگر حول محور اصلی ۳ مطابق شکل ۷-الف و برای بادبندها در ۰.۵٪ طول بادبند در حالت محوری تعریف شده است.

ضمناً منحنی سه خطی لنگر انحنا بصورت شماتیک در شکل ۷-ب نمایش داده شده است. بر اساس بند ۲-۲ پیوست دوم استاندارد ۲۸۰۰، می‌توان دو حالت را برای تبدیل منحنی لنگر-انحناء به صورت دوخطی و سهخطی در نظر گرفت. نمودار لنگر-انحناء به صورت منحنی سهخطی نسبت به منحنی دو-خطی دارای دقت بیشتر جهت نشان دادن مراحل مختلف کاهش سختی عضو، تحت خمس می باشد.

مطابق رابطه (۲)، ضریب میرایی سازه‌های ۳ و ۹ و ۲۰٪ طبقه به ترتیب برابر با ۱۲۶۰۰۰، ۴۷۸۱۹۴ و ۱۱۶۲۰۰۰ کیلوگرم ثانیه بر متر می‌باشد که با توجه به تقارن دو مهاربند دارای میراگر در هر طبقه، ضریب میرایی بدست آمده نصف می‌شود. دوره تناوب اصلی ارتعاش سازه که از نرم افزار SAP2000 حاصل شده در جدول ۵ و محاسبات مربوط به ضریب میرایی سازه ۳ طبقه قاب خمی در جدول ۶ آمده است.

داده شده است. همچنین مقاطع مورد استفاده نیز به صورت جدول ۷ می‌باشد.

شکل ۸- مدل ۱۳ طبقه فولادی با میراگر ویسکوز مطالعه راس و بومچرا [۲۲]

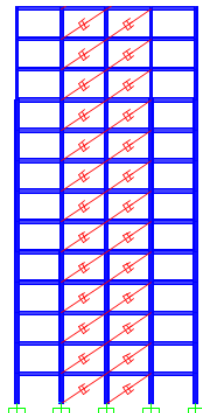


Fig 8. 13-stories steel model with viscous damper of Ras and Boumechra study [23]

تحلیل دینامیکی تاریخچه زمانی غیرخطی بر اساس شتاب نگاشت زلزله (Boumerdes 2003) با استفاده از نسبت‌های مختلف میرایی صفر، ۳۰ و ۱۰۰ درصد انجام گرفته است. در شکل ۹ منحنی هیسترزیس میراگر ویسکوز سازه مطالعه راس و بومچرا در مقایسه با مدل این مطالعه نمایش داده شده که به دلیل نزدیک بودن سطح زیر هر دو نمودار و میزان انرژی جذب شده مطالعه مزبور و این مطالعه که بترتیب $91/4$ و $89/5$ کیلوگرم سانتیمتر می‌باشد (اختلاف ۲ درصد)، انتطباق مناسبی بین مدل‌سازی انجام شده در این تحقیق و مدل‌سازی مطالعه راس و بومچرا وجود دارد.

شکل ۹- مقایسه منحنی هیسترزیس میراگر ویسکوز مدل این مطالعه با مطالعه راس و بومچرا مطالعه راس و بومچرا

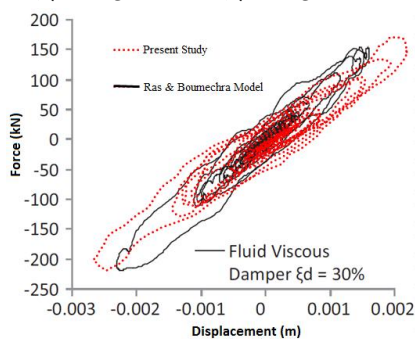


Fig 9. Comparison of viscous damper hysteresis curve of this model with Ras and Boumechra study

شکل ۶- طیف شتاب و متوسط هفت شتاب نگاشت هم پایه شده مطابق طیف استاندارد ۲۸۰۰

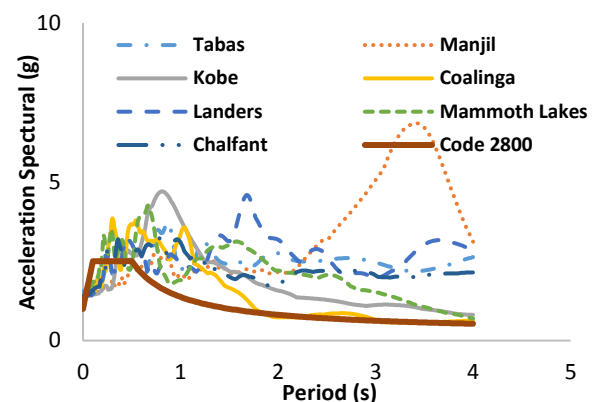


Fig 6. Acceleration spectrum and average of seven accelerogram scaled based on the standard 2800 spectrum

شکل ۷- (الف) موقعیت مفاصل پلاستیک در انتهای تیر و ستون – (ب) منحنی سه خطی لنگر – انتخنای اعضا

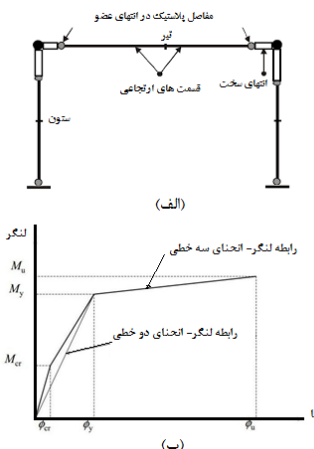


Fig 7. Position of the plastic hinges at the ends of the beams and columns

۴- صحبت سنجه

به منظور اطمینان از صحت مراحل مدل‌سازی قاب خمشی فولادی با میراگر ویسکوز در نرم افزار SAP2000، از مطالعه راس و بومچرا [22] استفاده شده که در آن یک سازه قاب خمشی ۱۳ طبقه از مصالح فولادی با مدلول الاستیسیته ۲۰۰ گیگاپاسکال و وزن واحد حجم $7698 \text{ کیلونیوتون} / 45/82 \text{ متر}$ با پلانی به ابعاد $23/70 \times 22/92$ متر و ارتفاع کل 12 متر مدل شده و 12 حالت مختلف چیدمان برای میراگرهای ویسکوز در پلان در نظر گرفته شده است. همچنین سختی لحظه شده برای میراگر مورد نظر، معادل با سختی یک پروفیل L120×13 می‌باشد. در شکل ۸ نمای سازه مزبور در حالت چیدمان شماره ۱۰ که گزینه بهینه این مطالعه نیز بوده، نمایش

در شکل ۱۱-الف نمودار تغییر مکان مطلق طبقات برای قاب خمسمی ۳ طبقه فولادی نشان داده شده است. همانطور که در نمودار مشخص است، افزایش میرایی باعث شده تا در حالت وجود میراگر ویسکوز $DEx=1$ ، $NDEx=0.25$ سانتی متر و در حالت وجود میراگر ویسکوز $NDEx=0.25$ سانتی متر، کاهش در تغییر مکان بیشینه ایجاد شود. همچنین در شکل ۱۱-ب نیز نمودار تغییر مکان جانبی نسبی در برابر زلزله برای قاب ۳ طبقه خمسمی فولادی نشان داده شده است. از این نمودار می‌توان نتیجه گرفت، افزایش میرایی باعث کاهش تغییر مکان نسبی طبقات شده و بیشترین تغییر مکان نسبی در طبقات میانی و در حالت وجود میراگر ویسکوز $DEx=1$ ، $NDEx=0.25$ سانتی متر و در حالت وجود میراگر ویسکوز $NDEx=0.25$ سانتی متر اتفاق افتاده است و بطور کلی نشان از کاهش مطلوب تغییر مکان های مطلق و نسبی قاب ۳ طبقه دارای میراگر نسبت به قاب بدون میراگر دارد.

شکل ۱۱- (الف) تغییر مکان مطلق - (ب) تغییر مکان نسبی قاب ۳ طبقه

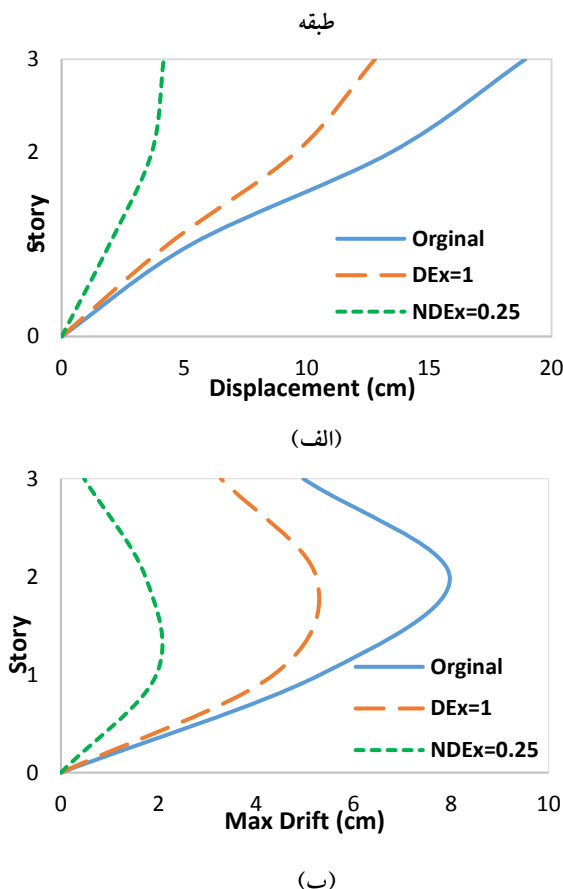


Fig 11. (a) Absolute displacement - (b) Relative displacement of a 3-stories frame

۵- بررسی پاسخهای سازه‌ای و تفسیر نتایج

در این مطالعه، مدل‌های تحلیل شده شامل مدل قاب خمسمی فولادی بدون میراگر (Original)، قاب خمسمی فولادی با میراگر خطی و ضریب توانی ۱ ($DEx=1$) و همچنین قاب خمسمی فولادی با میراگر غیرخطی و ضریب توانی 0.25 ($NDEx=0.25$) می‌باشد. منظور از عبارت Ex ، توان سرعت میراگر (Exponent of velocity) است و منظور از D میراگر خطی (linear Damper) و ND میراگر غیرخطی یعنی (Nonlinear Damper) می‌باشد. پس از انجام تحلیل تاریخچه زمانی، پاسخهای سازه‌ای شامل حداکثر تغییر مکان مطلق بام و نسبی طبقات، نحوه توزیع مفاصل پلاستیک، منحنی هیستریزیس و همچنین برش پایه، بررسی شدند که نتایج آن در ادامه به تفصیل آمده است.

۱-۵- تغییر مکان مطلق و نسبی

برای بررسی تغییر مکان بیشینه بام، نمودار تاریخچه تغییر مکان مطلق طبقه که محور افقی آن زمان و محور قائم تغییر مکان می‌باشد، ترسیم شده است. در شکل ۱۰ نمودار مزبور برای زلزله Chalfant(1986) و برای قاب ۳ طبقه فولادی خمسمی بدون میراگر و با میراگر و ضریب توانی 0.25 نشان داده شده است. همانطور که در نمودار قابل مشاهده است، افزایش میرایی باعث کاهش تغییر مکان حداکثر طبقات می‌گردد.

شکل ۱۰- تاریخچه جابه‌جاوی بام مدل ۳ طبقه با میراگر $DEx=1$ و $NDEx=0.25$ و بدون میراگر تحت زلزله Chalfant

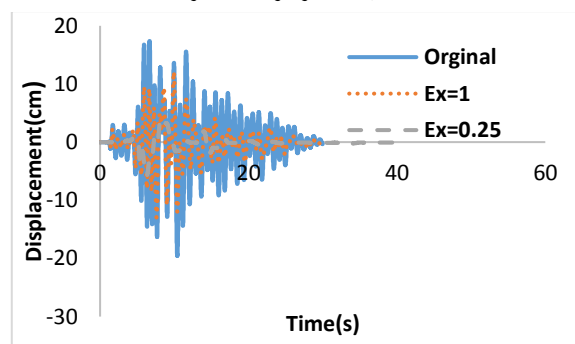
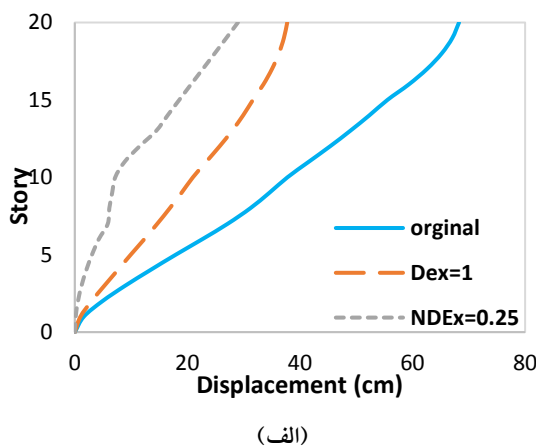


Fig 10. History of a 3-story model roof displacement with $DEx = 1$ and $NDEx = 0.25$ dampers and without dampers under Chalfant earthquake

همچنین در شکل ۱۳-الف مقدار حداکثر طبقه بام برای قاب ۲۰ طبقه فولادی نشان داده شده است. بر اساس این نمودار، افزایش میرایی باعث شده تا در حالت $DEx=1$ ، $NDEx=0.25$ سانتی‌متر و در حالت $40/34$ سانتی‌متر کاهش تغییر مکان بیشینه در طبقه بام ایجاد شود. همچنین مطابق شکل ۱۳-ب، افزایش میرایی باعث کاهش تغییر مکان نسبی طبقات شده و بیشترین تغییر مکان نسبی در طبقات میانی و در حالت $2/88$ سانتی‌متر و در حالت $2/12$ سانتی‌متر کاهش تغییر مکان نسبی در صورت استفاده از میراگر ویسکوز غیرخطی تنها تا طبقات میانی موجب کاهش شده و پس از آن میراگر خطی بر کاهش تغییر مکان نسبی مؤثر بوده است. با توجه به این‌که قاب ۲۰ طبقه به عنوان یک سازه بلند مرتبه بیش از دو قاب دیگر وارد ناحیه پلاستیک شده، با افزایش شدت زمین لرزه سرعت حرکت نیز افزایش می‌یابد. بنابراین میراگر غیرخطی با افزایش سرعت حرکت دو انتهای خود مواجه می‌گردد که موجب کاهش اثر روی تغییر مکان مطلق و نسبی قاب و اتلاف انرژی کمتری نیز می‌شود. بنابراین در طبقات یازدهم و بالاتر، میراگر مؤثرتر از $NDEx=0.25$ بوده است. همچنین در شکل ۱۴ درصد کاهش حداکثر تغییر مکان‌های نسبی و مطلق قاب-های ۹، ۳ و ۲۰ طبقه در حالت با و بدون میراگر، و در جدول ۸ نیز حداکثر مقادیر تغییر مکان‌های نسبی و مطلق گزارش شده است.

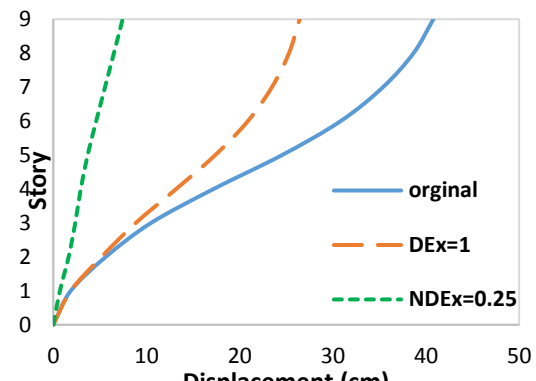
شکل ۱۳- (الف) تغییر مکان مطلق- (ب) تغییر مکان نسبی قاب ۲۰ طبقه



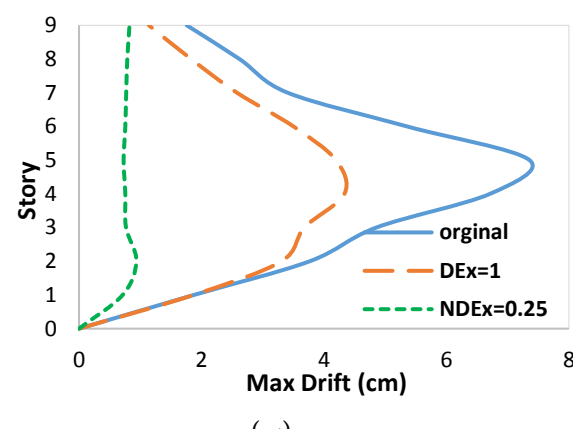
(الف)

در شکل ۱۲-الف نمودار تغییر مکان بیشینه طبقه بام برای قاب ۹ طبقه خمی فولادی نشان داده شده است. با توجه به شکل، افزایش میرایی باعث شده تا در حالت $14/35$ ، $DEx=1$ سانتی‌متر و در حالت $33/35$ ، $NDEx=0.25$ سانتی‌متر کاهش تغییر مکان حداکثر در طبقه ۹ ایجاد شود. همچنین در شکل ۱۲-ب افزایش میرایی باعث کاهش تغییر مکان نسبی طبقات شده و بیشترین تغییر مکان نسبی در طبقات میانی مشاهده شده و در حالت $4/16$ ، $DEx=1$ سانتی‌متر و در حالت $1/62$ ، $NDEx=0.25$ دارای تغییرات جایگایی نسبی نرم‌تری می‌باشد. همچنین عملکرد مناسب میراگر غیرخطی با بررسی اختلاف حداکثر تغییر مکان مطلق و نسبی مدل $NDEx=0.25$ نسبت به $DEx=1$ برای قاب ۹ طبقه که به ترتیب برابر با $18/99$ و $3/58$ سانتی‌متر بوده، مشخص است.

شکل ۱۲- (الف) تغییر مکان مطلق- (ب) تغییر مکان نسبی قاب ۹ طبقه



(الف)



(ب)

Fig 12. (a) Absolute displacement - (b) Relative displacement of a 9-stories frame

Mوجب کاهش ۷۸ و ۹۰ درصدی تغییر مکان مطلق به ترتیب در قابهای ۳، ۹ و ۲۰ طبقه می‌شود. ضمن این- که استفاده از میراگر $NDEx=0.25$ نیز نسبت به میراگر $DEx=1$ باعث کاهش ۶۷ و ۸۴ درصدی به ترتیب در تغییر مکان مطلق قابهای ۳، ۹ و ۲۰ طبقه شده است. به بیان دیگر، استفاده از میراگر $NDEx=0.25$ نسبت به میراگر $DEx=1$ موجب کاهش مطلوب در تغییر مکان مطلق شده است. همچنین در شکل ۱۴-ب درصد کاهش تغییر مکان نسبی قابهای مختلف نشان داده شده است. با توجه به این شکل می- توان نتیجه‌گیری نمود که به کار بردن میراگر خطی $DEx=0.25$ موجب کاهش ۳۴ و ۸۵ درصدی و میراگر $NDEx=0.25$ نیز موجب کاهش ۹۰ و ۴۰ درصدی تغییر مکان نسبی به- ترتیب در قابهای ۳، ۹ و ۲۰ طبقه می‌گردد. همانطور که در این نمودار مشخص است، با افزایش تعداد طبقات به خصوص در قابهای بلند مرتبه، اثر میراگر $NDEx=0.25$ نسبت به میراگر خطی در کاهش پاسخ قاب و به خصوص در تغییر مکان نسبی، کاهش قابل ملاحظه‌ای دارد که رسیدن اعضای قاب به حالت پلاستیک با افزایش شدت زلزله و همزمان با آن افزایش سرعت حرکت دو انتهای میراگر و کم اثر شدن میراگر غیرخطی، از عمدۀ دلایل آن می‌باشد.

جدول ۸- حداقل تغییر مکان نسبی و مطلق طبقات قاب ۳، ۹ و ۲۰ طبقه (سانتیمتر)

20-stories	9-stories	3-stories	Frame	Absolute Displacement
68.3	40.8	18.9	Orginal	
37.7	26.4	12.8	DEx=1	
28.9	7.4	4.2	NDEx=0.25	
				Relative Displacement
2.9	7.8	7.9	Orginal	
2.1	4.2	5.7	DEx=1	
2.9	1.6	2.1	NDEx=0.25	

Table 8. Maximum of relative and absolute displacement of 3, 9 and 20-stories frame (cm)

۲-۵- توزیع مفاصل پلاستیک

با بررسی توزیع مفاصل پلاستیک در اعضای قابهای ۳، ۹ و ۲۰ طبقه در سطوح مختلف خرابی مشخص می‌شود که اینمنی جانی رعایت شده و وجود میراگر غیرخطی از ایجاد خرابی در اعضای سازه‌ای جلوگیری نموده است. مفاصل

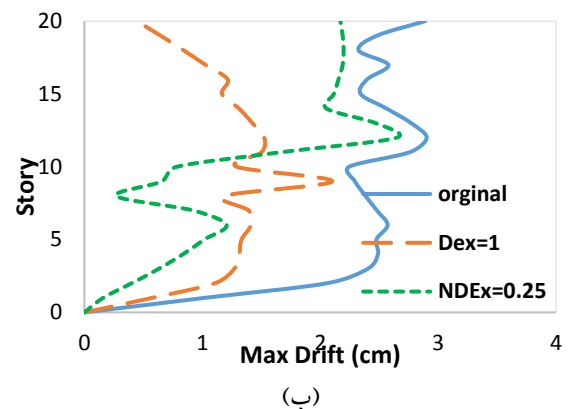
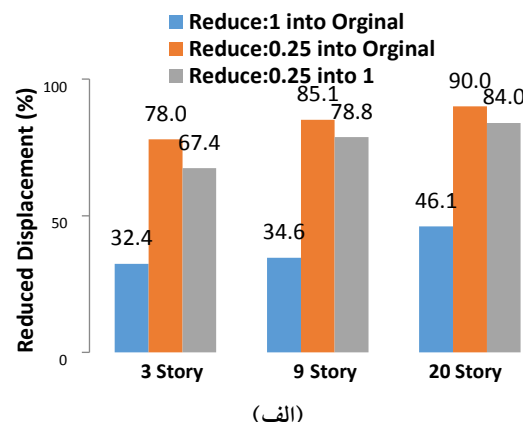
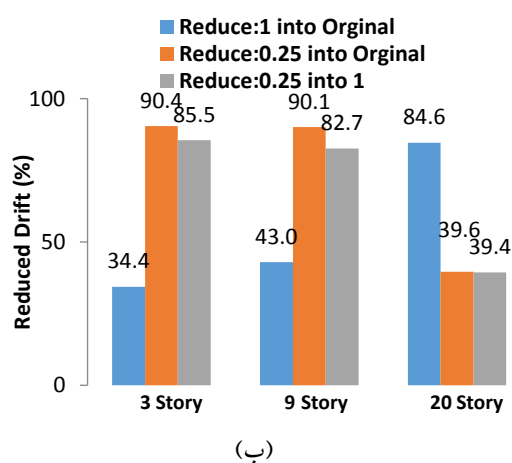


Fig 13. (a) Absolute displacement - (b) Relative displacement of a 20-stories frame

شکل ۱۴- درصد کاهش (الف) تغییر مکان مطلق (ب) تغییر مکان نسبی قابهای ۳، ۹ و ۲۰ طبقه بدون میراگر نسبت به $DEx=1$ و $NDEx=0.25$



(الف)



(ب)

Fig 14. Percentage of reduction: (a) Absolute displacement- (b) Relative displacement of 3, 9 and 20-stories frames without damper relative to $DEx = 1$ and $NDEx = 0.25$

براساس شکل ۱۴-الف استفاده از میراگر خطی $DEx=1$ موجب کاهش ۳۲، ۳۵ و ۴۶ درصدی و میراگر غیرخطی

۳-۵- منحنی هیسترزیس

میزان انرژی مستهلك شده توسط مهاربند دارای میراگر را می‌توان با استفاده از منحنی هیسترزیس بررسی نمود. استهلاک انرژی برابر با قدر مطلق مساحت بسته نمودار بار-تغییر مکان می‌باشد، در شکل ۱۶ منحنی هیسترزیس میراگرهای $DEx=1$ و $NDEx=0.25$ به صورت نسبتاً تخت بوده و طبقه فولادی خمی برای شتاب نگاشت Chalfant(1986) ترسیم شده است. بر اساس شکل ۱۶-الف، برای قاب ۳ طبقه چرخه هیسترزیس میراگر خطی $DEx=1$ به صورت نسبتاً تخت بوده و در نشاندهنده تغییر مکان زیاد و تحمل نیروی کمتر است و در مقابله نیز میراگر غیرخطی $NDEx=0.25$ با سطح زیر منحنی بیشتر خود، تا حد زیادی مؤثرتر در جذب انرژی بوده است. بر اساس شکل ۱۶-ب برای قاب ۹ طبقه عملکرد جذب انرژی توسط میراگر $NDEx=0.25$ می‌باشد. با بررسی شکل ۱۶-ج می‌توان به میراگر $DEx=1$ کاهش محسوس جذب انرژی میراگر $NDEx=0.25$ در قاب ۲۰ طبقه اذعان نمود و دلیل آن نیز افزایش سرعت حرکت سازه با افزایش شدت زلزله و به دنبال آن، کاهش نسبی ضربه میراگر غیرخطی نسبت به میراگر خطی می‌باشد. بطور کلی می-توان نتیجه گرفت که استفاده از میراگر غیرخطی در قاب‌های کوتاه و میان مرتبه (در این مطالعه ۳ و ۹ طبقه)، موجب افزایش عملکرد لرزه‌ای و جذب مطلوب انرژی نسبت به میراگر خطی شده و از سوی دیگر نیز، میراگر خطی در قاب‌های بلند مرتبه دارای عملکرد بهینه و مناسب‌تری می‌باشند.

در جدول ۱۰ مقادیر انرژی جذب شده توسط میراگرهای خطی و غیرخطی گزارش شده است. با بررسی مقادیر انرژی جذب شده در قاب‌های ۳، ۹ و ۲۰ طبقه مشخص می‌گردد که با افزایش تعداد طبقات، اثر میراگرهای به وضوح کاهش یافته به نحوی که برای میراگر $DEx=1$ ، قاب‌های ۹ و ۲۰ طبقه نسبت به ۳ طبقه به ترتیب ۶۸ و ۷۹ درصد کاهش جذب انرژی داشته اند و این کاهش برای میراگر $NDEx=0.25$ به ترتیب ۲۵ و ۹۵ درصد بوده است. همچنین میزان جذب انرژی زلزله برای میراگر غیرخطی $NDEx=0.25$ نسبت به میراگر خطی $DEx=1$ در قاب کوتاه مرتبه ۳ طبقه با افزایش ۷/۵ درصدی و نیز در قاب ۹ طبقه با افزایش قابل ملاحظه ۱۵۷ درصدی همراه بوده است.

پلاستیک تشکیل شده در قاب ۳ طبقه با و بدون میراگر تحت شتاب نگاشت (Chalfant(1986) در شکل ۱۵ نمایش داده شده و برای دیگر قاب‌ها نیز دارای نتایج مشابهی است. تعداد مفاصل پلاستیک تشکیل شده برای هر کدام از سطوح عملکرد به تفکیک قاب‌های مورد بررسی تحت شتاب نگاشت Chalfant(1986) در جدول ۹ آمده است. مطابق این جدول، وجود میراگر غیرخطی در سازه‌های ۳ و ۹ طبقه بدون تشکیل مفصل پلاستیک و در سازه ۲۰ طبقه موجب تشکیل تنها ۲۰ مفصل پلاستیک تا سطح عملکرد قابلیت استفاده‌ی بی‌وقفه شده است.

جدول ۹- تعداد مفاصل پلاستیک تشکیل شده

20-stories	9-stories	3-stories	BP	Frame
56	37	10	IO	Original
75	24	14	LS	
0	0	0	CP	
49	27	14	IO	
0	2	7	LS	$DEx=1$
0	0	0	CP	
20	0	0	IO	
0	0	0	LS	$NDEx=0.25$
0	0	0	CP	

Table 9. Number of plastic hinges formed

شکل ۱۵- توزیع مفاصل پلاستیک در قاب ۳ طبقه تحت زلزله NDEx=0.25: (الف) بدون میراگر- (ب) $DEx=1$ - (ج) $NDEx = 0.25$

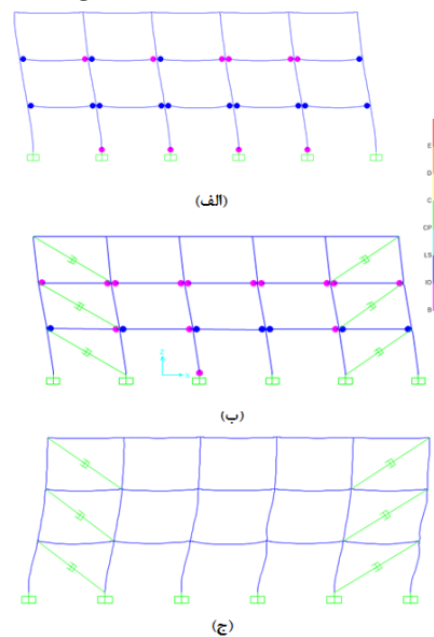


Fig 15. Distribution of plastic hinges in 3-stories frame under Chalfant earthquake: (a) without dampers- (b) $DEx = 1$ - (c) $NDEx = 0.25$

۴-۵- برش پایه

مقادیر برش پایه مدل‌ها در جدول ۱۱ برای قاب‌های ۳، ۹ و ۲۰ طبقه برای نسبت میراگری‌های مختلف آمده است. مطابق جدول ۹ برش پایه قاب ۳ طبقه با میراگر $DEx=1$ ، $NDEx=0.25$ کاهش داشته است و نسبت به قاب ۳ طبقه با میراگر $DEx=1$ این موارد برای قاب ۹ و ۲۰ طبقه به ترتیب، برابر ۱۰٪ و ۱٪ بوده است.

جدول ۱۱- برش پایه قاب‌های ۳، ۹ و ۲۰ طبقه بدون میراگر و با میراگرهای $NDEx=0.25$ و $DEx=1$ (Kg)

20-stories	9-stories	3-stories	Damper
273357	173526	160127	Original
225980	144041	141069	$DEx=1$
223066	130019	111060	$NDEx=0.25$

Table 11. Base shear of 3, 9 and 20-stories frames without dampers and with dampers $DEx = 1$ and $NDEx = 0.25$ (Kg)

شکل ۱۷- درصد کاهش برش پایه قاب‌های ۳، ۹ و ۲۰ طبقه برای میراگرهای $NDEx=0.25$ و $DEx=1$

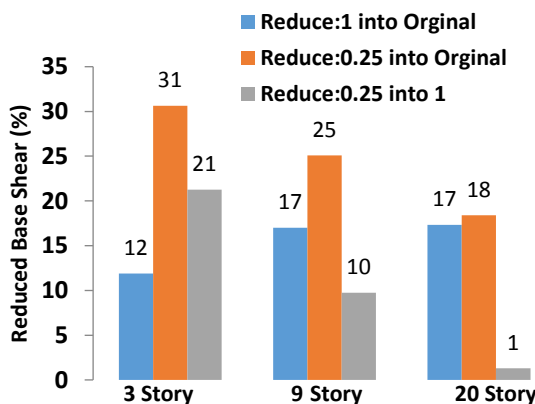


Fig 17. Percentage of reduction of 3, 9 and 20-stories frame for $DEx = 1$ and $NDEx = 0.25$ dampers

درصد کاهش برش پایه برای حالات مختلف استفاده از میراگرهای در شکل ۱۷ نیز نمایش داده شده که نشان می‌دهد، با افزایش تعداد طبقات اثر میراگر خطی $DEx=1$ در کاهش برش پایه قاب‌ها از ۱۲ درصد در قاب ۳ طبقه به ۱۷ درصد در قاب‌های ۹ و ۲۰ طبقه افزایش یافته و تأثیر میراگر غیرخطی از ۳۱٪ در قاب ۳ طبقه تا ۲۵٪ و ۱۸٪ در قاب‌های ۹ و ۲۰ طبقه کاسته می‌شود. همچنین استفاده از

شکل ۱۶- منحنی هیسترزیس میراگر ۱ و $NDEx=0.25$ طبقه اول تحت زلزله Chalfant: (الف) ۳ طبقه- (ب) ۹ طبقه- (ج) ۲۰ طبقه

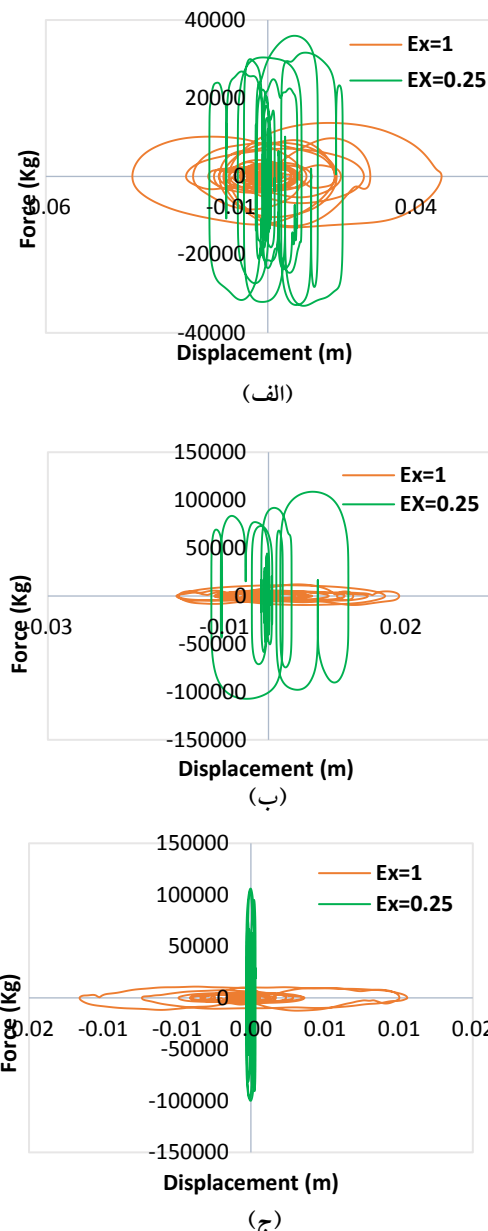


Fig 16. Damper hysteresis curve $DEx = 1$ and $NDEx = 0.25$ First floor of frames under Chalfant earthquake: (a) 3-stories- (b) 9-stories - (c) 20-stories

جدول ۱۰- انرژی جذب شده توسط میراگرهای (Kg.m)

20-stories	9-stories	3-stories	Damper
869.96	1364.26	4325.60	$DEx=1$
221.34	3504.98	4647.89	$NDEx=0.25$
-74	157	7.5	Percentage of increase

Table 10. Energy absorbed by dampers (Kg.m)

- استفاده از میراگرهاي غيرخطي نسبت به ميراگرهای خطی به طور قابل ملاحظه‌ای در کاهش خرابی سطح عملکرد ايمى جانی مؤثر بوده و موجب کاهش چشمگير تعداد مفاصل پلاستيك در سطح عملکرد قabilت استفاده بى وقهه شده است.

- همچنين برش پایه قاب‌های ۳ و ۹ طبقه با میراگر غيرخطي نسبت به ميراگر خطی کاهشی حدود ۲۱ و ۱۰ درصد داشته و نشان دهنده اثر مثبت ميراگر غيرخطي در اين مورد بر قاب‌های کوتاه و ميان مرتبه می‌باشد و در عین حال اثر ميراگرهای غيرخطي بر قاب‌های بلند مرتبه چندان محسوس نبوده است.

مراجع

1. Jeary A.P. 1996 The description and measurement of nonlinear damping in structures. *Journal of Wind Engineering and Industrial Aerodynamics*, 59(2-3), 103-114.
2. Ras A., & Boumechra N. 2014 Study of nonlinear fluid viscous dampers behaviour in seismic steel structures design. *Arabian Journal for Science and Engineering*, 39, 8635-8648.
3. Martinez-Rodrigo M., & Romero M.L. 2003 An optimum retrofit strategy for moment resisting frames with nonlinear viscous dampers for seismic applications. *Journal of Engineering Structure*, 25(7), 913-925.
4. Altieri D., Tubaldi E., De Angelis M., Patelli E., & Dall'Asta A. 2017 Reliability-based optimal design of nonlinear viscous dampers for the seismic protection of structural systems, *Bulletin of Earthquake Engineering*, 16, 963-982.
5. Silwal B., Michael R.J., & Ozbulut O.E. 2015 A super elastic viscous damper for enhanced seismic performance of steel moment frames. *Engineering Structures*, 105, 152-164.
6. Lin J.L., Liu T.H., & Tsai K.C. 2015 Real-valued modal response history analysis for asymmetric-plan buildings with nonlinear viscous dampers. *Soil Dynamics and Earthquake Engineering*, 77, 97-110.
7. Silwal B., Ozbulut O.E., & Michael R.J. 2016 Seismic collapse evaluation of steel moment resisting frames with super elastic viscous damper. *Journal of Constructional Research*, 126, 26-36.
8. Brodersen M.L., Ou G., Hogsberg J., & Shirley Dyke S. 2016 Analysis of hybrid viscous damper

میراگر $NDE=0.25$ نسبت به $DEx=1$ با افزایش تعداد طبقات اثر کمتری روی کاهش برش پایه در سازه دارد بهصورتی که اثر کاهشی ميراگر غيرخطي نسبت به خطی در قاب‌های ۳، ۹ و ۲۰ طبقه بهترتب ۲۱، ۱۰ و ۱ درصد بوده است.

۶- نتیجه گيري

در اين مطالعه به منظور بررسی اثر استفاده از ميراگرهای ويسيکوز در عملکرد لرزه‌ای ساختمان‌ها، قاب‌های خمسی فولادی با ۳، ۹ و ۲۰ طبقه انتخاب و در سه حالت بدون ميراگر، با ميراگر ويسيکوز خطی و ضرائب توانی ۱ و نيز با ميراگر ويسيکوز غيرخطي و ضريب توانی $2/25$ ، تحت تحليل تاريخچه زمانی قرار گرفتند. سپس پاسخ‌های لرزه‌ای شامل حداکثر تغيير مكان مطلق طبقات، حداکثر تغيير مكان نسبی طبقات، توزيع مفاصل پلاستيك، منحنی هيسترزيس و برش پایه سازه‌ها استخراج شدند. بررسی نتایج نشان داد:

- استفاده از ميراگر ويسيکوز باعث کاهش پاسخ‌ها و کاهش خرابی قاب گردیده هر چند نوع ميراگر در ميزان کاهش مؤثر بوده است. به اين ترتيب که کاهش حداکثر تغيير مكان مطلق قاب‌های ۳، ۹ و ۲۰ طبقه برای ميراگر غيرخطي نسبت به حالت خطی به ميزان ۷۹، ۶۷ و ۸۴ درصد بوده است. هرچند با افزایش تعداد طبقات، وجود ميراگر غيرخطي نسبت به ميراگر خطی اثر کمتری در کاهش تغيير مكان مطلق دارد.

- بيшиنه تغيير مكان نسبی قاب‌ها برای ميراگر غيرخطي و نيز ميراگر خطی نسبت به حالت بدون ميراگر به وضوح کاهش داشته است. همچنان کاهش بيшиنه تغيير مكان نسبی قاب‌های کوتاه و ميان مرتبه مانند قاب‌های ۳ و ۹ طبقه برای ميراگر غيرخطي بيشرتر از ميراگر خطی بوده ولی با افزایش تعداد طبقات به خصوص در قاب‌های بلند مرتبه اثر ميراگر غيرخطي به وضوح کاهش می‌يابد بطوری که اين کاهش بترتیب برابر با ۸۶ و ۸۳ درصد برای قاب‌های ۳ و ۹ طبقه بوده است.

- استفاده از ميراگر غيرخطي در قاب‌های کوتاه و ميان مرتبه (در اين مطالعه ۳ و ۹ طبقه) با توجه به منحنی هيسترزيس و ميزان جذب انرژي آن، نسبت به ميراگر خطی با ۷/۵ و ۱۵۷ درصد، دارای عملکرد بهينه‌تری بوده و اين نوع ميراگر نسبت به ميراگر خطی برای قاب ۲۰ طبقه، عملکرد مطلوبی ندارد و کاهش ۷۴ درصدی داشته است.

- estimation of steel MR frames. *Journal of Structural and Construction Engineering*, 4, 53-68. (in Persian).
16. FEMA-273. 1997 NEHRP Guidelines for Seismic Rehabilitation of Buildings. *Building Seismic Safety Council, FEMA*, Washington, D.C.
 17. Agrawel A.K. & Amjadian M. 2015 Seismic component devices. *Department of civil and environmental engineering*, The City College of the City University of New York, 160 Convent Ave., New York, NY 10031.
 18. Federal Emergency Management Agency (FEMA). 2014 HAZUS-MH 2.1 Technical Manual: Earthquake Model. Washington, DC: FEM.
 19. No, S., 2800 2005 Iranian Code of Practice for Seismic Resistant Design of Buildings, 4th Revision. *Building and Housing Research Center, Iran*.
 20. American Institute of Steel Construction (AISC). 2010 AISC Seismic. *Seismic provisions for structural steel buildings*, Chicago.
 21. PEER Strong Motion Database. <http://peer.berkeley.edu>.
 22. Ras A., & Boumechra N. 2016 Seismic energy dissipation study of linear fluid viscous dampers in steel structure design. *Alexandria Engineering Journal*, 55(3), 2821-2832.
 9. Shariati A., kamgar R., & Rahgozar R. 2020 Optimum layout of nonlinear fluid viscous damper for improvement the responses of tall buildings. *International Journal of Optimization in Civil Engineering*, 10(3), 411-431.
 10. Santos-Santiago M.A, Ruiz S.E., & Valenzuela-Beltrán F. 2020 Influence if higher modes of vibration on the seismic response of building with linear and nonlinear viscous dampers. *Journal of Earthquake Engineering*, 1-23.
 11. Kookalani S., Shen D. 2020 Effect of fluid viscous damper parameters on the seismic performance. *Journal of Civil Engineering and Materials Application*, 4(3): 141-153.
 12. Salehi S., Ghobadi M.S. 2020 Seismic resilient bracing structure equipped with hybrid device at base. *Soil Dynamic and Earthquake Engineering*, 138.
 13. Pineda A.C., Amortegui L.F., & Chesi C. 2019 Use of viscous fluid dampers for the improvement of the seismic response of RC structures. *Vibroengineering Procedia*, 23, 87-92.
 14. Rezvani F.H., Yousefi A.M., & Ronagh H.R. 2015 Effect of span length on progressive collapse behaviour of steel moment resisting frames. *Structures*, 3, 81-89.
 15. Esmaeilabadi R., & Bahar O. 2017 Improving performance of the direct displacement based design method with improving yield displacement by realtime hybrid simulations. *Engineering Structures*, 126, 675-688.

Comparison of seismic behavior of steel moment frames equipped with linear and nonlinear viscosity dampers under near-fault earthquakes

Mansour Bagheri¹, Seyed Abbas Hosseini², Amin Vedad³

1. Assistant Professor, Civil Engineering Department, Birjand University of Technology, Birjand, Iran

2. Assistant Professor, Faculty of Technology and Mining, Yasouj University, Choram, Iran

3. M.Sc. of Structural Engineering, Civil Engineering Department, Beat Institute of Higher Education, Kerman, Iran

ABSTRACT

The displacement-based design method in structural design codes, in which displacement is considered a criterion for evaluating the structure, has been accepted due to the dependence of failure on displacement more than forces, overcoming the inherent shortcomings of force-based design methods. On the other hand, different levels and states can be defined concerning structures' performance. In the functional state of immediate occupancy, the relative lateral displacement due to cracking or plastic behavior does not remain in the structure. The structural members' stiffness and strength do not change fundamentally, and microscopic cracks are created in the structural members and façade. In the second case, i.e., life safety, some stiffness, and strength will be lost in all classes, relative deformation due to plastic behavior in the structure will be observed, and the risk of loss of life will be slightly higher. At the performance level, the collapse threshold remains in the members of structures of low stiffness and strength to withstand lateral loads, but the columns and load-bearing walls maintain their function, the relative deformations are high, and the structure is likely to collapse due to aftershocks. Due to decreased energy caused by earthquakes, dampers with passive control systems are installed in certain parts of the structure and absorb a relatively large part of the energy entering the structure under different mechanisms, and as a result, the structure does not suffer severe damage. After the Northridge and Kobe earthquakes, extensive laboratory studies were conducted to strengthen and increase the joints' ductility, and many modified joints were proposed. Extensive applied structural studies have been conducted on dampers' seismic behavior as one of the advanced tools of passive structural control systems due to earthquake energy dissipation. This work compares the effects of linear and nonlinear viscous dampers on the seismic behavior of 3, 9, and 20-stories steel moment frames, and the structural seismic responses are discussed. In linear dampers, the axial force is obtained by multiplying the damping coefficient ratio at the relative speed of the damper's two ends, and in the nonlinear state, the relative speed of the damper is between 0.2 and 1, in which 0.25 is used in the current study. The results showed that viscous dampers' implementation generally reduced the responses and decreased the structural damage during the earthquake. Absolute displacement of structural models in nonlinear dampers compared to linear ones has decreased with an increasing number of stories, but for maximum relative displacement with the increasing number of stories, nonlinear dampers had a more negligible effect. Due to the hysteresis extracted, nonlinear dampers in short and intermediate structures have more energy loss, which is significantly reduced in high damping structures. The plastic hinge distribution for these dampers has eliminated the failure LS at the life safety performance level. The base shear of 3, 9, and 20 story frames with a nonlinear damper is significantly reduced compared to a linear damper and shows the nonlinear damper's positive effect, especially on high-rise structural frame models.

Keywords: steel moment frame, viscose damper, nonlinear time history analysis, plastic hinge, base shear.